

- [10] Heywang-Kobrunner SH, Heinig A, Pickuth D, et al. Interventional MRI of the breast: Lesion localisation and biopsy. Eur J Radiol, 2000, 10(1):36-45.
- [11] Schneider E, Rohling KW, Schnall MD, et al. An apparatus for MR-guided breast lesion localization and core biopsy: Design and preliminary results. J Magn Reson Imaging, 2001, 14(3):243-253.
- [12] Helbich TH. Localization and biopsy of breast lesions by magnetic resonance imaging guidance. J Magn Reson Imaging, 2001, 13(6):903-911.
- [13] Bahrs SD, Hattermann V, Preibsch H, et al. MR imaging-guided vacuum-assisted breast biopsy: Reduction of false-negative biopsies by short-term control MRI 24—48 h after biopsy. Clin Radiol, 2014, 69(7):695-702.
- [14] Ghate SV, Rosen EL, Soo MS, et al. MRI-guided vacuum-assisted breast biopsy with a handheld portable biopsy system. AJR Am J Roentgenol, 2006, 186(6):1733-1736.

Retroperitoneal hemangiopericytoma: Case report 腹膜后血管外皮细胞瘤 1例

梅 莹,金光玉*

(延边大学附属医院影像一科,吉林 延吉 133000)

[Key words] Hemangiopericytoma; Diagnostic imaging

DOI: 10.13929/j.1003-3289.201610097

[中图分类号] R735.4; R814.42

[关键词] 血管外皮细胞瘤;诊断显像

[文献标识码] B

[文章编号] 1003-3289(2017)05-0661-01

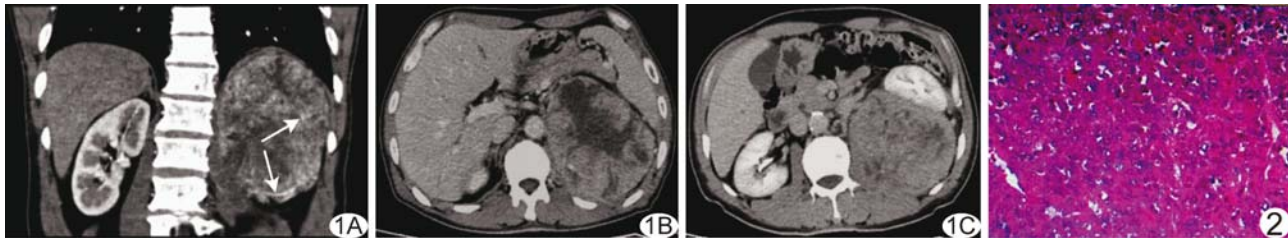


图1 腹膜后 HPC 增强后 CT 图像 A. 动脉期边缘明显强化,肿块内与周围见粗大血管(箭); B. 门静脉期持续强化; C. 延迟期强化减退、趋于均匀,左肾向前推移 **图2** 病理图(HE,×100)

患者男,62岁,因“左侧腰部不适4个月”入院。高血压病史4年,查体及实验室检查未见异常。CT平扫见左侧腹膜后类圆形软组织肿块影,大小13.2 cm×9.8 cm,密度不均,中心有坏死,与左侧腰大肌分界不清,CT值19.7~42.9HU。增强扫描动脉期病灶轻中度强化,CT值30.6~86.9HU,瘤内与瘤周见粗大血管(图1A);门静脉期持续强化(图1B);延迟期扫描肿瘤实质成分趋于均匀,坏死区无强化(图1C)。左肾受压向下、向前移位。CT拟诊左侧腹膜后恶性肿瘤。行左侧腹膜后肿瘤切除术,术中见腹膜后椭圆形肿块,与肾脏及肾上腺无明显关联,肾脏受压向腹侧及下方移位,与腰大肌粘连。大体病理见肿瘤切面呈鱼肉样改变,伴坏死。镜下见血管壁外周细胞

呈卵圆形、纺锤形,可见梭形细胞,局部较密集、增生活跃,伴坏死,肿瘤细胞丰富,见轻度异型性,核仁明显,可见病理性核分裂象(图2)。免疫组织化学染色:CD34(+),Vimentin(+),Act(+),bcl-2(-)。病理诊断:左侧腹膜后血管外皮细胞瘤(潜在恶性;hemangiopericytoma, HPC)。

讨论 HPC是由毛细血管壁外周细胞衍生的软组织肿瘤,罕见,发病机制不清。多发于中年人,无明显性别差异,好发于下肢、盆腔和腹膜后的深部组织和肌肉。腹膜后HPC一般表现为无痛性肿块,随肿瘤体积增大表现为压迫、浸润和远处转移症状。CT平扫肿块呈等或略低密度,内可见囊变、坏死,增强后动脉期呈明显强化,门静脉期持续强化。本例动脉期为轻中度强化;肿块内或周围常可见粗大血管穿行、包绕,可提示诊断,但确诊仍需依靠病理学检查。本病主要需与孤立性纤维瘤(solitary fibrous tumor, SFT)相鉴别:①SFT主要发生于胸腔,HPC好发于下肢、盆腔和腹膜后的深部组织和肌肉;②SFT内含有不同程度的胶原纤维,T2WI表现为略高信号(肿瘤细胞密集区及黏液样变区)中存在结节状或片状低信号(致密胶原纤维),且增强后不同肿瘤成分强化程度不同,而HPC无此表现。

[基金项目] 国家自然科学基金项目(81160176)。

[第一作者] 梅莹(1992—),女,安徽安庆人,在读硕士。

E-mail: meiping20150901@163.com

[通信作者] 金光玉,延边大学附属医院影像一科,133000。

E-mail: kimguangyu@163.com

[收稿日期] 2016-10-22 **[修回日期]** 2017-02-15